

Adaptive Finite Elemente für Lineare Elastizität

Theo Koppenhöfer

4. August 2022

Inhaltsverzeichnis

Einführendes Beispiel

Formulierung des kontinuierlichen Problems

Existenz und Eindeutigkeit des kontinuierlichen Problems

Das diskrete Problem

A priori Fehlerabschätzung

A posteriori Fehlerschätzer

Numerische Experimente

Zusammenfassung

Quellen

Ein einführendes Beispiel

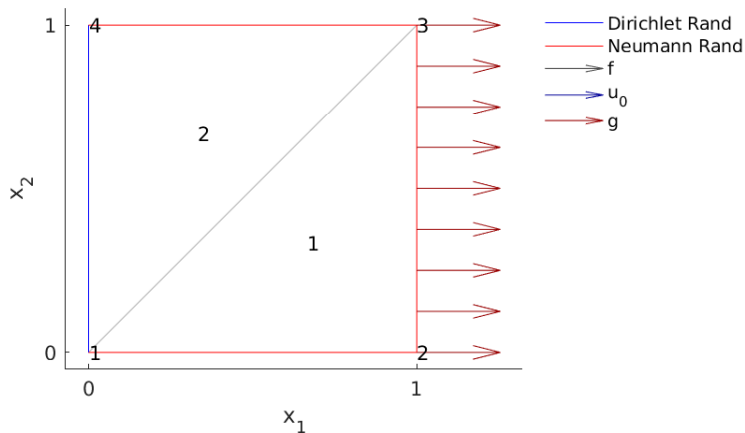


Abb.: Anfangskonfiguration

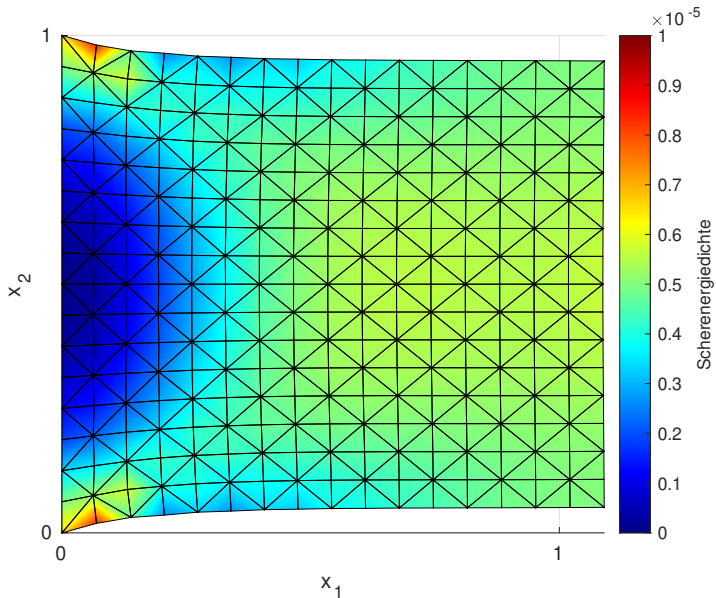


Abb.: Numerische Lösung auf dem Gebiet.

Fragen, die man sich stellen kann

- ▶ Wie kann ich den Fehler der berechneten Lösung abschätzen, ohne die genaue Lösung zu kennen? → Fehlerschätzer
- ▶ Wie kann ich die Kenntnis über diesen Fehler gewinnbringend verwenden? → adaptive Gitterverfeinerung

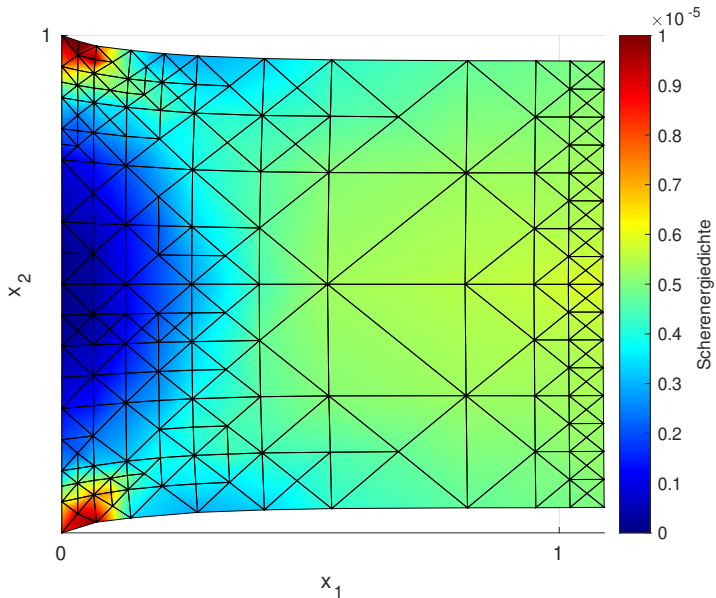


Abb.: Lösung mit adaptiven Methoden

Formulierung des kontinuierlichen Problems

Wir nehmen an, der Körper nimmt in Referenzkonfiguration das Gebiet $\overline{\Omega} \subseteq \mathbb{R}^d$ ein. Wir bezeichnen

- ▶ Deformation: Eine Abbildung $\chi: \overline{\Omega} \rightarrow \mathbb{R}^d$ mit $\det \nabla \chi > 0$
- ▶ Verschiebung: Eine Abbildung u , gegeben durch $\chi = \text{Id} + u$

Die Menge an zulässigen Verschiebungen bezeichnen wir mit V .

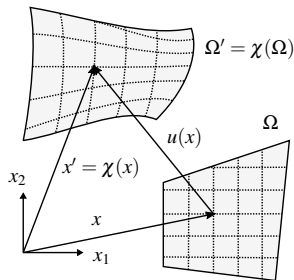


Abb.: Eine Deformation in 2D

Vorraussetzung des Models: Der deformierte Körper nimmt den Raum Ω ein und befindet sich im Kräftegleichgewicht. Man definiert

- ▶ Volumenkräfte: Eine Abbildung $f: \Omega \rightarrow \mathbb{R}^d$.
- ▶ Oberflächenkräfte: Eine Abbildung $\sigma: \Omega \rightarrow \mathbb{R}^{d \times d}$ (Cauchyscher Spannungstensor). σ_{ij} bezeichnet die Kraft auf die Fläche j in Richtung i wirkt. Kraft, die auf Oberfläche in Richtung n wirkt ist

$$\sigma n = \sum_j \sigma_{ij} n_j e_i.$$

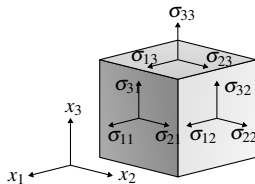


Abb.: Darstellung eines Spannungstensors in 3D.

Randbedingungen

Wir bezeichnen $\Gamma := \partial\Omega$ als den Rand des Gebietes, $\Gamma_D \subseteq \Gamma$ als den Dirichlet- und $\Gamma_N \subseteq \Gamma$ als den Neumann-Rand. Damit erhalten wir Randbedingungen an die Lösung u des Problems

$$\begin{aligned}\sigma n &= g && \text{auf } \Gamma_N, \\ u &= w && \text{auf } \Gamma_D.\end{aligned}$$

mit $w: \Gamma_N \rightarrow \mathbb{R}^d$. Die Dirichlet-Randbedingung lässt sich verallgemeinern zu gleitenden Randbedingungen

$$Mu = w \quad \text{auf } \Gamma$$


mit $M: \Gamma \rightarrow \mathbb{R}^{d \times d}$.

Formulierung als Kräftegleichgewicht

Das Kräftegleichgewicht liefert die Formulierung: Finde eine Deformation u , so dass

Oberflächenkräfte, die über die
Oberfläche $\partial\omega$ auf ω wirken

Volumenkräfte,
die auf ω wirken


$$-\int_{\partial\omega} \sigma n \, ds = \int_{\omega} f \, dx \quad \text{für alle } \omega \subseteq \Omega \text{ regulär genug,}$$
$$\sigma n = g \quad \text{auf } \Gamma_N,$$
$$Mu = w \quad \text{auf } \Gamma,$$

wobei σ von u abhängt und f, g als von u unabhängig angenommen werden (tote Lasten).

Differenzielle Formulierung

Der Satz von Gauss liefert

$$-\operatorname{Div} \boldsymbol{\sigma} := -\sum_j \partial_j \sigma_{ij} e_i = f$$

Jetzt haben wir die differenzielle Formulierung

$$\begin{aligned} -\operatorname{Div} \boldsymbol{\sigma} &= f && \text{auf } \Omega, \\ \boldsymbol{\sigma} n &= g && \text{auf } \Gamma_N, \\ Mu &= w && \text{auf } \Gamma. \end{aligned}$$

Das Ziel ist es einen Ausdruck für σ in Abhängigkeit von u zu erhalten. Wir definieren den linearisierten Verzerrungstensor

$$\varepsilon := \frac{1}{2} \left(\nabla u + \nabla u^\top \right).$$

Für ein linear-elastisches Material ist

$$\sigma_{ij} = \sum_{k,l} C_{ijkl} \varepsilon_{kl}$$

mit Hooke-Tensor $C: \Omega \rightarrow \bigotimes_{i=1}^4 \mathbb{R}^d$.

Für St. Venant-Kirchhoff-Materialien gilt

$$C_{ijkl} = \lambda \delta_{ij} \delta_{kl} + \mu (\delta_{ik} \delta_{jl} + \delta_{il} \delta_{jk})$$

mit Lamé-Koeffizienten λ und μ . Es folgt

$$\sigma_{ij} = \sum_{k,l} C_{ijkl} \varepsilon_{kl} = \lambda \operatorname{Tr}(\varepsilon) \delta_{ij} + 2\mu \varepsilon_{ij}.$$

Variationelle Formulierung

Wir setzen nun $V := H^1(\Omega; \mathbb{R}^d)$ als die Menge der möglichen Verschiebungen. Außerdem definieren wir

$$V^0 := \{v \in H^1(\Omega; \mathbb{R}^d) : Mv = 0 \text{ auf } \Gamma\}.$$

Wir definieren

$$a(u, v) := \int_{\Omega} \sigma(u) : \varepsilon(v) \, dx := \int_{\Omega} \sum_{i,j} \sigma_{ij}(u) \varepsilon_{ij}(v) \, dx$$

sowie

$$\ell(v) := \langle f, v \rangle_{0,\Omega} + \langle g, v \rangle_{0,\Gamma_N} = \int_{\Omega} f \cdot v \, dx + \int_{\Gamma_N} g \cdot v \, ds.$$

Man kann aus der differenziellen Formulierungen eine variationelle Formulierung (virtuelle Arbeit) herleiten: Finde $u \in V$, so dass

$$\begin{aligned} a(u, v) &= \ell(v) && \text{für alle } v \in V^0, \\ Mu &= w && \text{auf } \Gamma. \end{aligned}$$

Energiebetrachtung

Wir erhalten für die potenzielle Energie des Zustandes v

$$W(v) := \frac{1}{2}a(v, v) - \ell(v).$$

Man kann eine Formulierung als Optimierungsproblem herleiten:

Finde $u \in V$, so dass

$$\begin{array}{ll} u \text{ minimiert} & W = \frac{1}{2}a(\cdot, \cdot) - \ell, \\ \text{unter der Nebenbedingung} & Mu|_{\Gamma} = w|_{\Gamma}. \end{array}$$

Existenz und Eindeutigkeit des kontinuierlichen Problems

Das folgende Resultat findet sich in [4, S.288].

Satz (Lax-Milgram Lemma)

Seien V^0 ein Banach-Raum, $\ell: V^0 \rightarrow \mathbb{R}$ eine stetige lineare Form und $a: V^0 \times V^0 \rightarrow \mathbb{R}$ eine stetige symmetrische elliptische bilineare Form. Dann hat das Problem $u \in V^0$ zu finden, so dass

$$a(u, v) = \ell(v)$$

für alle $v \in V^0$, eine eindeutige Lösung. Dieses ist dann auch eindeutige Lösung des Problems $u \in V^0$ zu finden, so dass u das Funktional

$$W = \frac{1}{2}a(\cdot, \cdot) - \ell$$

minimiert.

Existenz und Eindeutigkeit des inhomogenen Problems

Folgerung

Existiert $u_\Gamma \in V$, so dass $Mu_\Gamma = w$ und erfüllen a und ℓ die Voraussetzung des Lax-Milgram-Lemmas auf V^0 , dann besitzt unser Problem eine Eindeutige Lösung.

Beweis.

Es ist $u \in V$ genau dann eine Lösung von

$$\begin{aligned} a(u, v) &= \ell(v) && \text{für alle } v \in V^0, \\ Mu &= w && \text{auf } \Gamma, \end{aligned}$$

wenn $u - u_\Gamma \in V^0$ eine Lösung ist von

$$a(u - u_\Gamma, v) = \ell(v) - a(u_\Gamma, v) \quad \text{für alle } v \in V^0.$$



Es ist recht einfach zu zeigen, dass

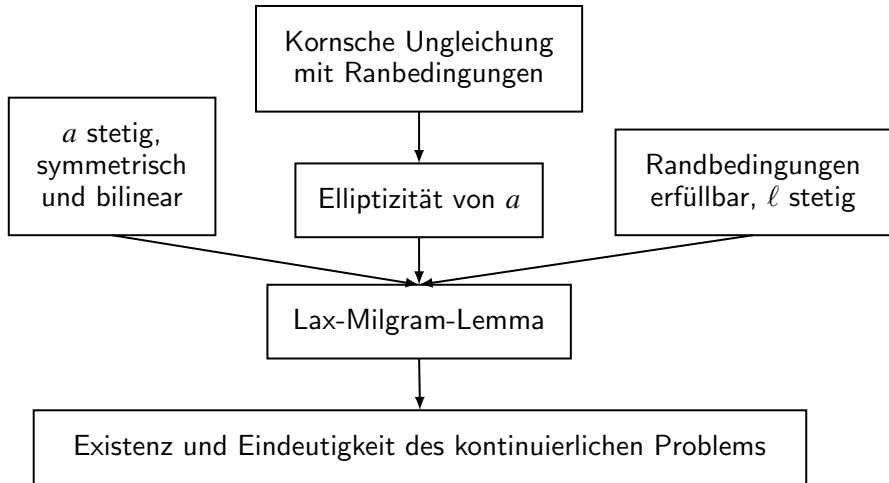
- ▶ a ist bilinear und symmetrisch.
- ▶ Stetigkeit: Es gibt ein $c_A > 0$, so dass für alle $v_1, v_2 \in V$

$$a(v_1, v_2) \leq c_A \|v_1\| \|v_2\|.$$

Es ist nicht sehr einfach zu zeigen, dass

- ▶ Elliptizität: Es gibt ein $c_a > 0$, so dass für alle $v \in V$

$$a(v, v) \geq c_a \|v\|^2.$$



Kornsche Ungleichungen

Man definiert für $v \in H^1(\Omega; \mathbb{R}^d)$ die Norm

$$\|v\|_{K,\Omega}^2 := \|v\|_{0,\Omega}^2 + \|\varepsilon(v)\|_{0,\Omega}^2.$$

Da $\varepsilon: H^1(\Omega; \mathbb{R}^d) \rightarrow H^0(\Omega; \mathbb{R}^d)$ linear ist, folgt 1-Homogenität und die Dreiecksungleichung. Die Positivdefinitheit auf dem Ganzraum folgt aus folgendem Resultat in [2, S.292]:

Lemma (Kornsche Ungleichung ohne Randbedingungen auf dem Ganzraum)

Sei $\Omega = \mathbb{R}^d$ mit $v \in H^1(\Omega; \mathbb{R}^d)$. Dann gilt

$$|v|_{1,\Omega} \leq \sqrt{2} \|\varepsilon(v)\|_{0,\Omega}.$$

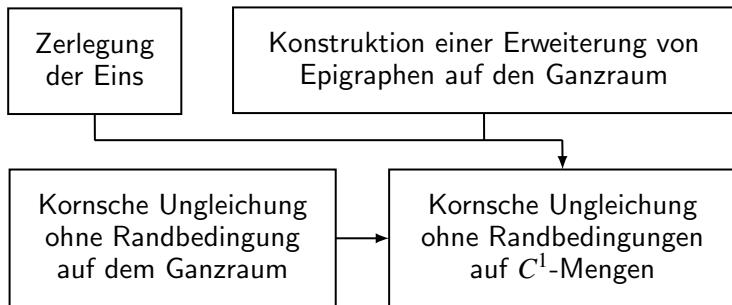
Lemma (Kornsche Ungleichung ohne Randbedingungen auf C^1 -Mengen)

Sei $\Omega \subseteq \mathbb{R}^d$ eine C^1 -Menge, dann gibt es ein $c_{K1} > 0$, so dass für alle $v \in H^1(\Omega; \mathbb{R}^d)$ gilt

$$\|v\|_{1,\Omega} \leq c_{K1} \|v\|_{K,\Omega}.$$

Beweis.

Siehe [7] für Details.



Wir bezeichnen eine offene zusammenhängende Menge $\Omega \subseteq \mathbb{R}^d$ als Gebiet. Ein Gebiet mit C^1 -Rand bezeichnen wir als C^1 -Gebiet.

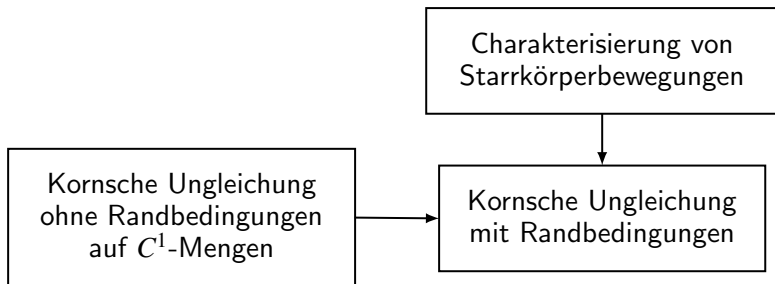
Satz (Kornsche Ungleichung mit Randbedingungen)

Seien $\Omega \subseteq \mathbb{R}^3$ ein C^1 -Gebiet und $S \subseteq \Gamma$ mit positivem Flächenmaß. Dann gibt es $c_{K2} > 0$, so dass für alle $v \in H_S^1(\Omega; \mathbb{R}^3)$ gilt

$$\|v\|_{1,\Omega} \leq c_{K2} \|\varepsilon(v)\|_{0,\Omega}.$$

Beweis.

Siehe [4, S.294f.] und [2, S.293] für Details.



Nodale Basis

Bezeichne φ_i die nodale Basis in einer Dimension. Wir definieren die d -dimensionale nodale Basis

$$[\phi_1 \cdots \phi_{dn}] = [\varphi_1 e_1 \cdots \varphi_1 e_d \quad \cdots \quad \varphi_n e_1 \cdots \varphi_n e_d]$$

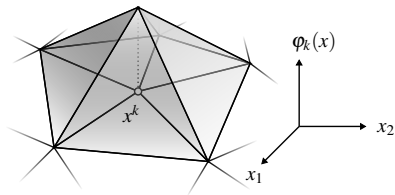


Abb.: Ein Element einer nodalen Basis in 2D

Diskrete Formulierung

Wir diskretisieren

$$\begin{aligned} V &= H^1(\Omega; \mathbb{R}^d) && \longrightarrow V_h := \text{Span}\{\phi_i\}_i \subseteq V \\ V^0 &= \{v \in H^1(\Omega; \mathbb{R}^d) : Mv = 0 \text{ auf } \Gamma\} && \longrightarrow V_h^0 := V_h \cap V^0 \end{aligned}$$

und erhalten die diskrete Formulierung: Finde $u_h \in V_h$, so dass

$$\begin{aligned} a(u_h, v_h) &= \ell(v_h) && \text{für alle } v_h \in V_h^0, \\ Mu_h &= w && \text{auf } \Gamma. \end{aligned}$$

A priori Fehlerabschätzung

Man definiert den Fehler

$$e := u - u_h$$

Proposition (A priori Fehler)

Seien \mathcal{T} eine uniforme Triangulierung, $u \in H^2(\Omega; \mathbb{R}^2)$. Dann gibt ein $c > 0$, welches vom Regularitätsparameter und Ω abhängt, so dass

$$\|e\|_{1,\Omega} \leq c \frac{c_A}{c_a} h |u|_{2,\Omega}.$$

Hierbei ist $h := \max_{T \in \mathcal{T}} h_T$.

Beweis.

Folgt aus Céa's Lemma in [2, S.53] und einem Interpolationsresultat aus [2, S.75]. □

Ein residualer Fehlerschätzer

Wir definieren

- ▶ die flächenbezogenen Residuen $R_T := f + \operatorname{Div} \sigma(u_h)$
- ▶ die kantenbezogenen Sprünge

$$R_E := \begin{cases} [[\sigma(u_h)n_E]] & , \text{ falls } E \in \mathcal{E} \setminus \mathcal{E}_\Gamma \\ g - \sigma(u_h)n_E & , \text{ falls } E \in \mathcal{E}_N \\ 0 & , \text{ sonst} \end{cases}$$

- ▶ einen lokalen Fehlerschätzer

$$\eta_{R,T}^2 := h_T^2 \|R_T\|_{0,T}^2 + \frac{1}{2} \sum_{E \in \mathcal{E}_\Omega \cap \partial T} h_E \|R_E\|_{0,E}^2 + \sum_{E \in \mathcal{E}_\Gamma \cap \partial T} h_E \|R_E\|_{0,E}^2$$

- ▶ einen globalen Fehlerschätzer

$$\eta_R^2 := \sum_{T \in \mathcal{T}} \eta_{R,T}^2 = \sum_{T \in \mathcal{T}} h_T^2 \|R_T\|_{0,T}^2 + \sum_{E \in \mathcal{E}} h_E \|R_E\|_{0,E}^2$$

Proposition

Für alle Testfunktionen $v \in V^0$ gilt

$$a(e, v) = \sum_{T \in \mathcal{T}} \langle R_T, v \rangle_{0,T} + \sum_{E \in \mathcal{E}} \langle R_E, v \rangle_{0,E}$$

Beweis.

Wesentliche Idee ist, Satz von Gauß, auf jedem Dreieck separat anzuwenden. □

Satz (Obere Schranke des Fehlers, Zuverlässigkeit)

Seien $d = 2$, \mathcal{T} eine uniforme Triangulierung von Ω und sei a elliptisch. Dann gibt es ein $c > 0$, welches von c_a und dem Regularitätsparameter abhängt, so dass

$$\|e\|_{1,\Omega} \leq c\eta_R.$$

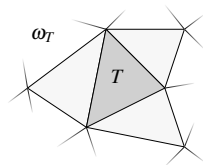
Beweis.

Folgt der Idee aus [2, Kapitel III.§8]. Verwendet die vorhergehende Proposition und eine Interpolation vom Clément-Typ. □

Satz (Untere Schranke des Fehlers, lokale Effizienz)

Seien $d = 2$, \mathcal{T} eine uniforme Triangulierung von Ω und a stetig. Dann gibt es ein $c > 0$, welches von c_A und vom Regularitätsparameter abhängt, so dass

$$\eta_{R,T}^2 \leq c \left(\sum_{T' \in \omega_T} \|e\|_{0,T'}^2 + \sum_{T' \in \omega_T} h_{T'}^2 \|f_h - f\|_{0,T'}^2 + \sum_{E \in \mathcal{E}_N \cap \partial T} h_E \|g_h - g\|_{0,E}^2 \right)$$



für alle $f_h \in \mathcal{L}^0(\mathcal{T}; \mathbb{R}^d)$ und $g_h \in \mathcal{L}^0(\mathcal{E}_N; \mathbb{R}^d)$.

Abb.: Die Umgebung ω_T von T .

Beweis.

Recht technisch. Analog zu [2, S.173f.].



Numerische Experimente

Das folgende Benchmark stammt aus [3, Abschnitt 3.1].

Benchmark: Quadratisches Gebiet

Wir haben das Gebiet $\Omega = [0, 1]^2 \subseteq \mathbb{R}^2$ mit reinem Dirichlet-Rand $\Gamma_D = \partial\Omega$, Parameter $\mu = 10^7$, uniforme Verfeinerung und Funktionen

$$u(x) = \pi \begin{bmatrix} \cos(\pi x_2) \sin^2(\pi x_1) \sin(\pi x_2) \\ -\cos(\pi x_1) \sin(\pi x_1) \sin^2(\pi x_2) \end{bmatrix}$$

$$f(x) = 2\mu\pi^3 \begin{bmatrix} -\cos(\pi x_2) \sin(\pi x_1) (2\cos(2\pi x_1) - 1) \\ \cos(\pi x_1) \sin(\pi x_1) (2\cos(2\pi x_2) - 1) \end{bmatrix}$$

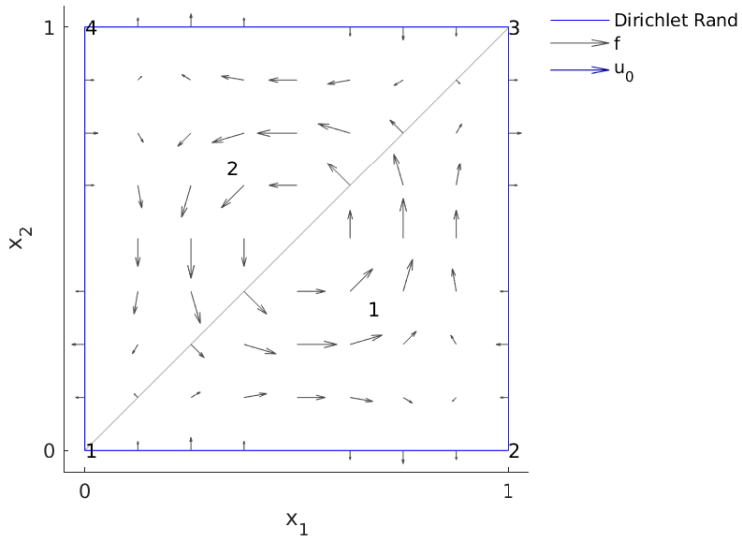


Abb.: Anfangskonfiguration

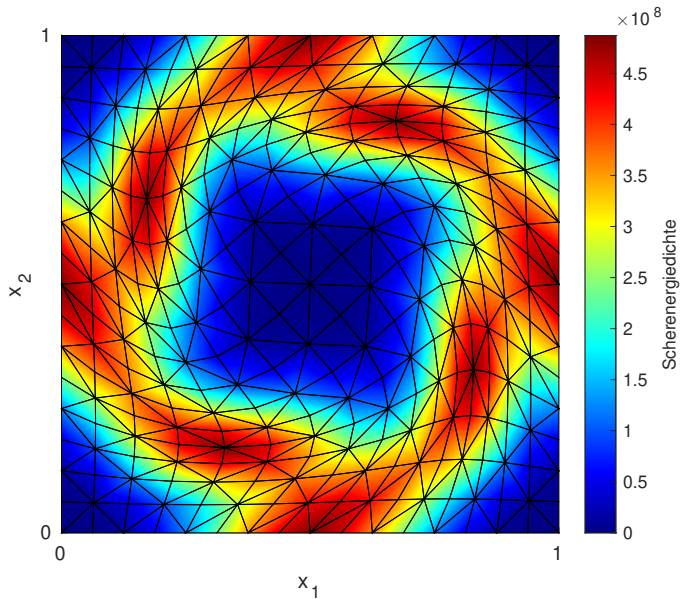


Abb.: Mögliche Deformation des Gebiets.

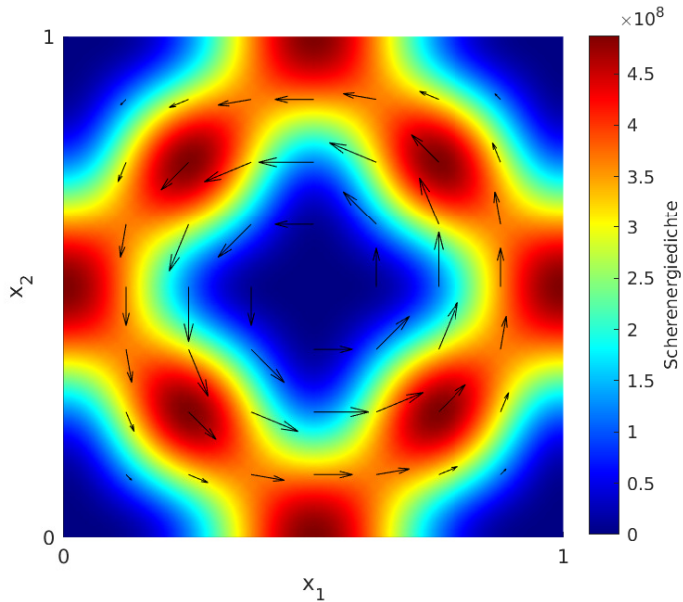


Abb.: Lösung auf dem Gebiet.

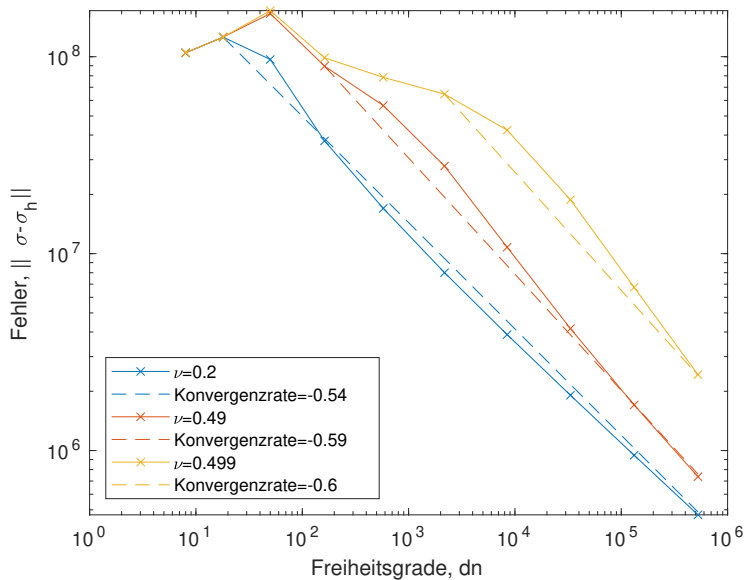


Abb.: Fehler

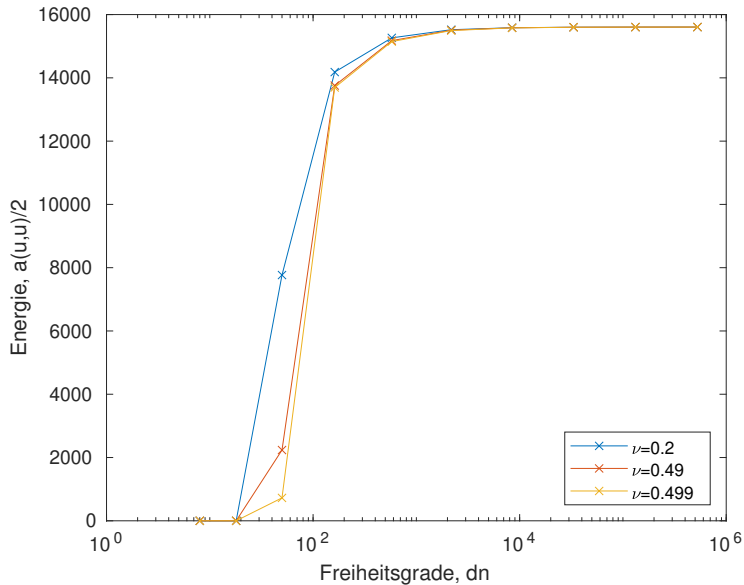


Abb.: Energie

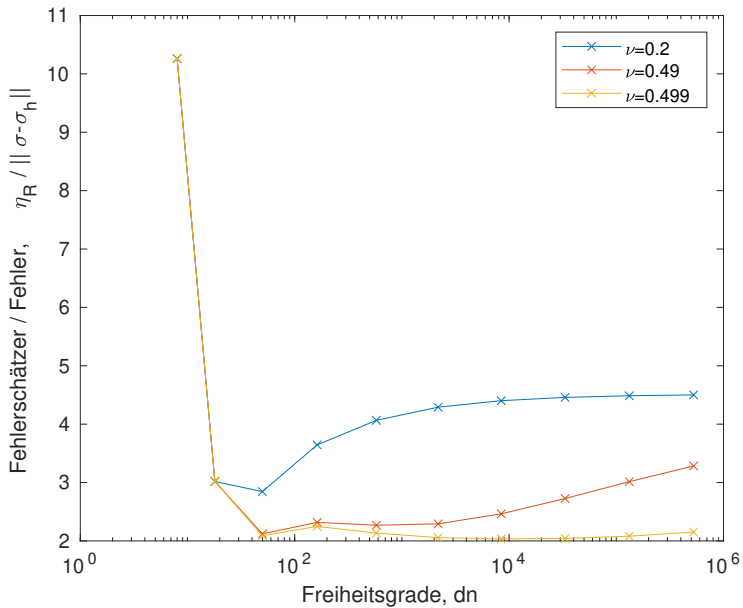


Abb.: Effizienz

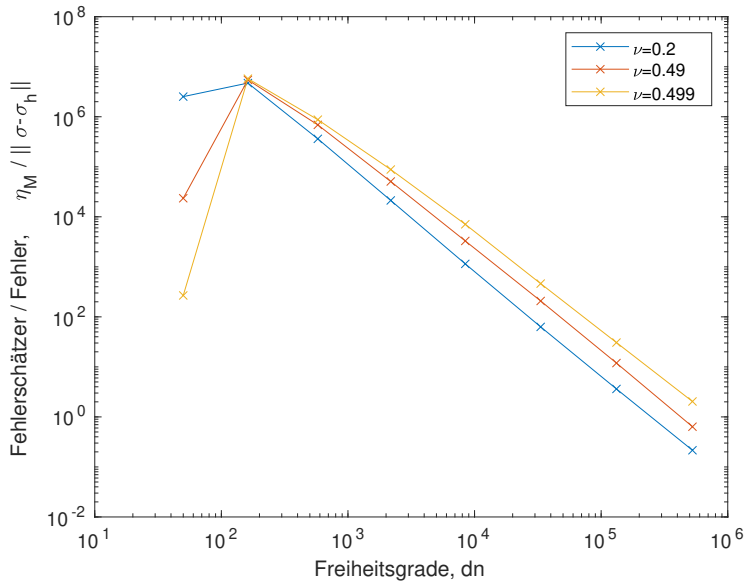


Abb.: Ineffizienz

Das Folgende Benchmark stammt aus [3, Abschnitt 3.4] und [1, S.255f.].

Benchmark: L-förmiges Gebiet

Wir verwenden ein L-förmiges Gebiet und Parameter $\mu = 10^7$, $\nu = 0.3$ und $\zeta = 0.7$. In Polarkoordinaten ist

$$\begin{aligned}u_r(r, \varphi) &= \frac{r^\alpha}{2\mu} \left(-(\alpha + 1) \cos((\alpha + 1)\varphi) \right. \\&\quad \left. + (C_2 - \alpha - 1)C_1 \cos((\alpha - 1)\varphi) \right) \\u_\varphi(r, \varphi) &= \frac{r^\alpha}{2\mu} \left((\alpha + 1) \sin((\alpha + 1)\varphi) \right. \\&\quad \left. + (C_2 + \alpha - 1)C_1 \sin((\alpha - 1)\varphi) \right)\end{aligned}$$

mit speziellen Konstanten C_1 , C_2 und α gegeben. Außerdem haben wir $f = 0$ und $g = 0$.

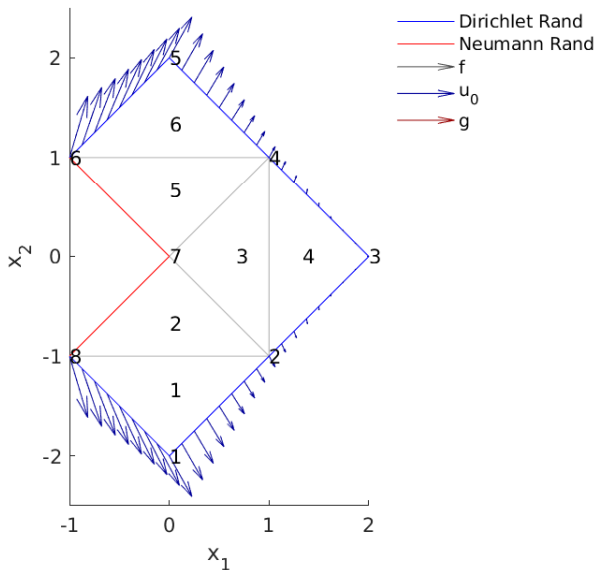


Abb.: Anfangskonfiguration

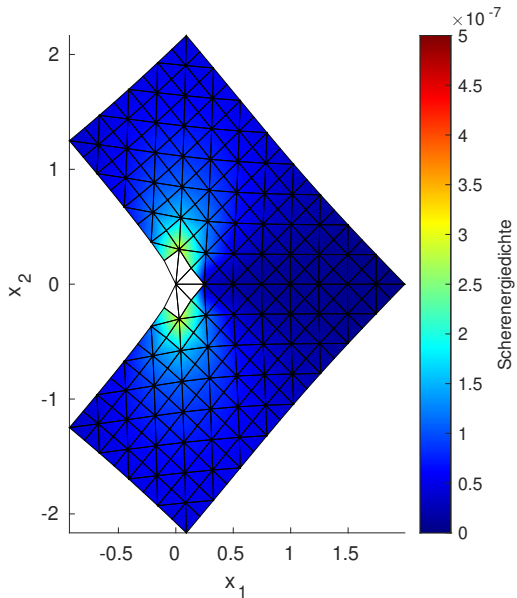


Abb.: Mögliche Deformation des Gebiets.

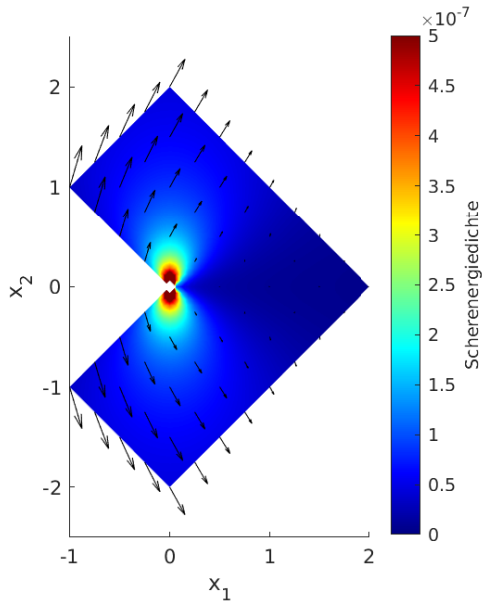


Abb.: Lösung auf dem Gebiet.

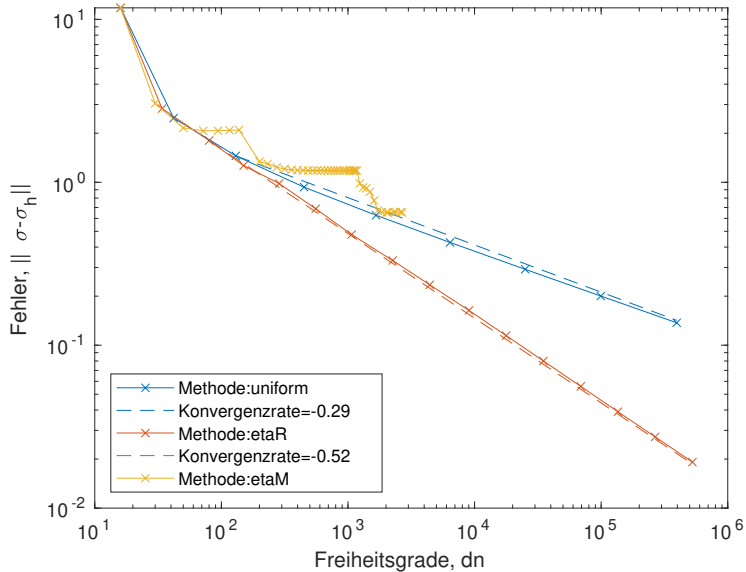


Abb.: Fehler

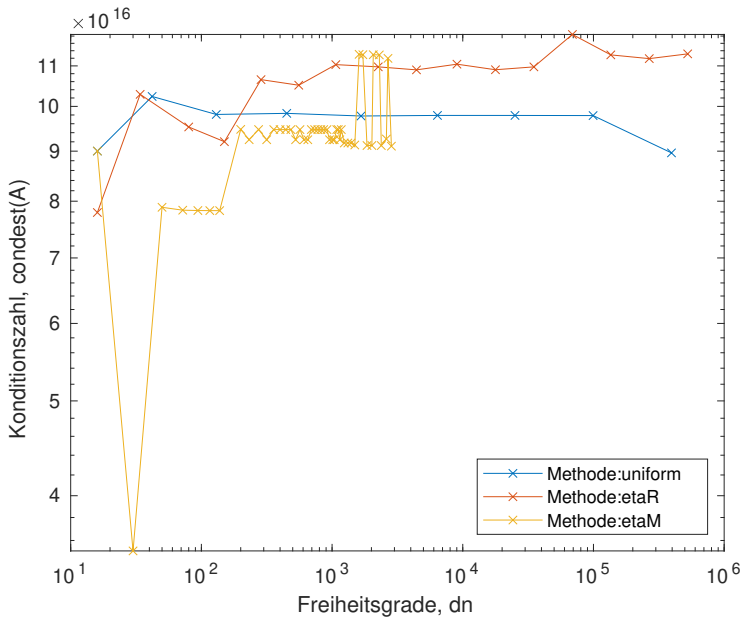


Abb.: Konditionszahl

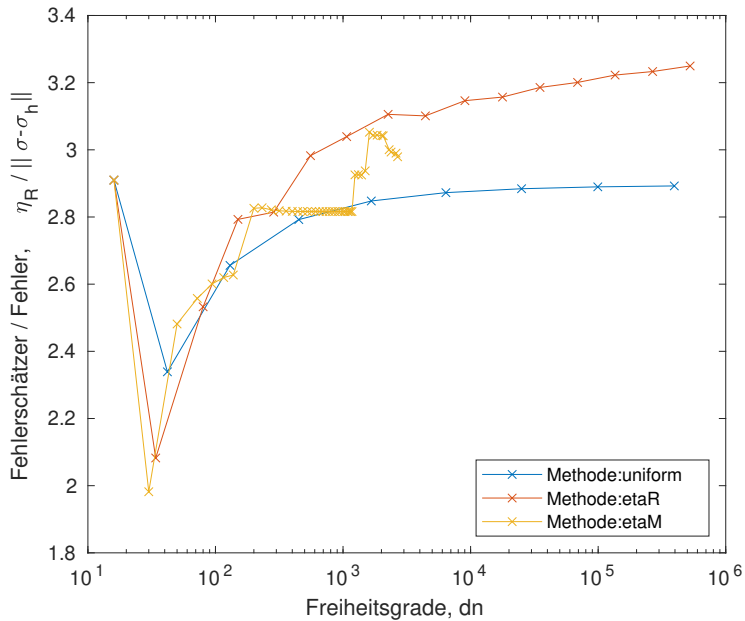


Abb.: Effizienz

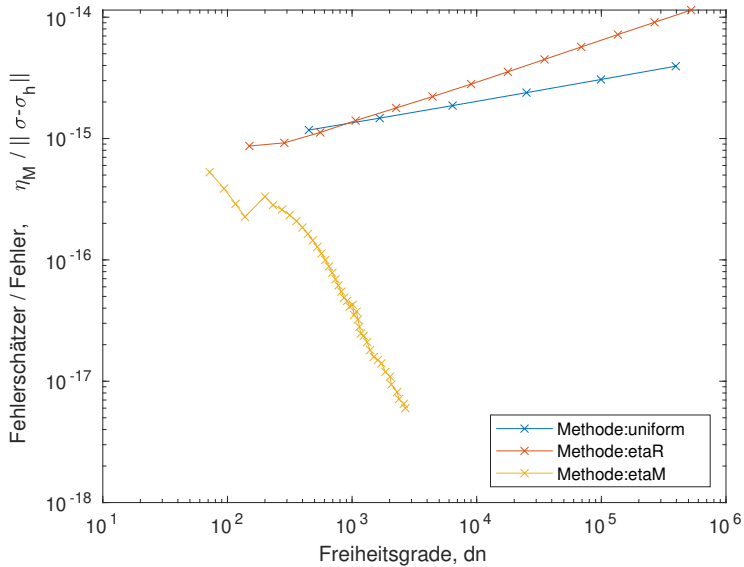
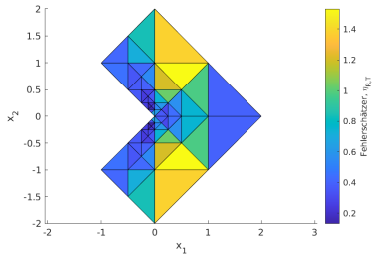
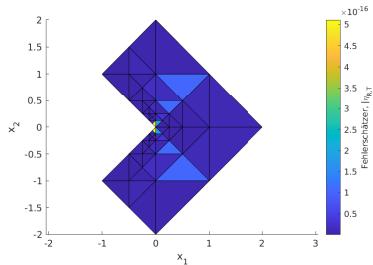


Abb.: Ineffizienz



(a) lokaler Fehlerschätzer $\eta_{R,T}$



(b) lokaler Fehlerschätzer $\eta_{M,T}$

Abb.: uniforme Triangulierung bei $d \cdot n = 94$.

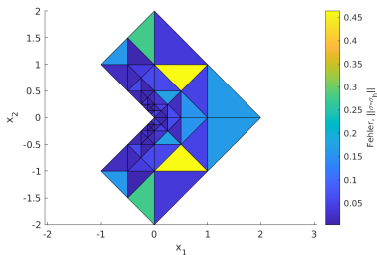


Abb.: lokaler Fehler $\|\sigma - \sigma_h\|$ bei $d \cdot n = 94$ Freiheitsgraden.

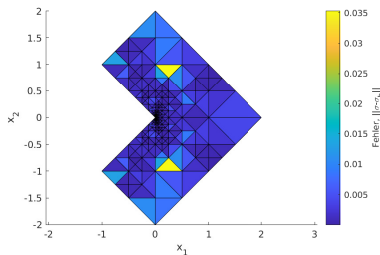
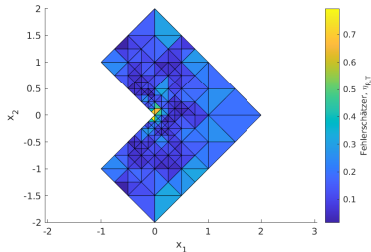
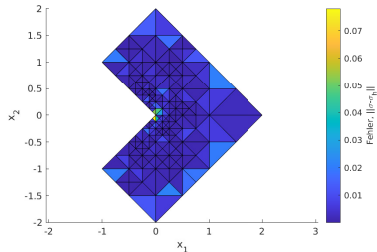


Abb.: lokaler Fehler $\|\sigma - \sigma_h\|$ bei $d \cdot n = 1610$ Freiheitsgraden.



(a) lokaler Fehlerschätzer $\eta_{R,T}$



(b) lokaler Fehler $\|\sigma - \sigma_h\|$

Abb.: Adaptive Gitterverfeinerung mit dem residualen Fehlerschätzer η_R und $d \cdot n = 286$ Freiheitsgraden.

Zusammenfassung I

- ▶ Kontinuierliches Problem: Finde $u \in V$, so dass
 - ▶ Kräftegleichgewicht

$$\begin{aligned} - \int_{\partial\omega} \sigma n \, ds &= \int_{\omega} f \, dx && \text{für alle } \omega \subseteq \Omega \text{ regulär genug,} \\ \sigma n &= g && \text{auf } \Gamma_N, \\ Mu &= w && \text{auf } \Gamma. \end{aligned}$$

- ▶ Differenzielles Problem

$$\begin{aligned} -\operatorname{Div} \sigma &= f && \text{auf } \Omega, \\ \sigma n &= g && \text{auf } \Gamma_N, \\ Mu &= w && \text{auf } \Gamma. \end{aligned}$$

Zusammenfassung II

- Variationelles Problem (virtuelle Arbeit)

$$\begin{aligned} a(u, v) &= \ell(v) && \text{für alle } v \in V^0, \\ Mu &= w && \text{auf } \Gamma. \end{aligned}$$

- Optimierungsproblem (Energiefunktional)

$$\begin{aligned} u \text{ minimiert} \quad W &= \frac{1}{2}a(\cdot, \cdot) - \ell \\ \text{unter der Nebenbedingung} \quad Mu|_{\Gamma} &= w|_{\Gamma} \end{aligned}$$

- Diskretes Problem: Finde $u_h \in V_h$, so dass

$$\begin{aligned} a(u_h, v_h) &= \ell(v_h) && \text{für alle } v_h \in V_h^0, \\ Mu_h &= w && \text{auf } \Gamma. \end{aligned}$$

Zusammenfassung III

- ▶ Man zeigt:
Kornsche Ungleichung ohne Randbedingungen auf dem
Ganzraum $\xrightarrow{\text{Erweiterungsoperator}}$ Kornsche Ungleichung ohne
Randbedingungen $\xrightarrow{\text{Starrkörperbewegungen}}$ Kornsche Ungleichung
mit Randbedingungen \rightarrow Positivdefinitheit von a
- ▶ Existenz und Eindeutigkeit folgt aus dem Lax-Milgram-Lemma
- ▶ Der residuale Fehlerschätzer ist zuverlässig und effizient. Dies
sieht man auch in numerischen Experimenten.
- ▶ Der residuale Fehlerschätzer wird verwendet, um das Gitter
adaptiv zu verfeinern. Dies verbessert bei manchen Problemen
die Konvergenz.

Quellen I

- [1] J. Albery, C. Carstensen, S. A. Funken, and R. Klose. Matlab implementation of the finite element method in elasticity. *Computing*, 69(3):239–263, 2002.
- [2] Dietrich Braess. *Finite Elemente. Theorie, schnelle Löser und Anwendungen in der Elastizitätstheorie*. Springer Verlag, Berlin, fourth edition, 2007.
- [3] C. Carstensen, M. Eigel, and J. Gedicke. Computational competition of symmetric mixed FEM in linear elasticity. *Comput. Methods Appl. Mech. Engrg.*, 200(41-44):2903–2915, 2011.
- [4] Philippe G. Ciarlet. *Mathematical elasticity. Vol. I. Three-dimensional elasticity*, volume 20 of *Studies in Mathematics and its Applications*. North-Holland Publishing Co., Amsterdam, 1988.

Quellen II

- [5] G. Duvaut and J.-L. Lions. *Inequalities in mechanics and physics*, volume 219 of *Grundlehren der Mathematischen Wissenschaften*. Translated from the French by C. W. John. Springer-Verlag, Berlin-New York, 1976.
- [6] L. D. Landau and E. M. Lifshitz. *Theory of elasticity*. Course of Theoretical Physics, Vol. 7. Translated by J. B. Sykes and W. H. Reid. Pergamon Press, London-Paris-Frankfurt; Addison-Wesley Publishing Company, Inc., Reading, Mass., 1959.
- [7] J. A. Nitsche. On Korn's second inequality. *RAIRO Anal. Numér.*, 15(3):237–248, 1981.
- [8] Rüdiger Verfürth. *A posteriori error estimation techniques for finite element methods*. Numerical Mathematics and Scientific Computation. Oxford University Press, Oxford, 2013.

Danke für die Aufmerksamkeit.

